

# INFORME TÉCNICO SENAMHI-ENFEN N°09-2025 SEPTIEMBRE 2025 Y CONDICIONES ACTUALES DE OCTUBRE

# Componente Atmosférica: Monitoreo de Condiciones El Niño y Pronóstico Subestacional RESUMEN

El Índice Oceánico Niño (ONI temporal), centrado en septiembre de 2025, registró un valor de -0.49 °C, correspondiente a la categoría neutral. En septiembre de 2025, el promedio mensual de la anomalía de la TSM en la región 3.4 fue de -0.46 °C, lo que reflejó una tendencia al descenso de anomalías de TSM (fuente: ERSSTv5). En lo que va de octubre de 2025, se ha observado una persistente disminución de las anomalías de la TSM en el Pacífico central, asociada al fortalecimiento de los vientos del este. Según el pronóstico del C3S se espera que la predominancia de anomalías negativas se sitúe dentro del rango neutral a fría débil hasta enero de 2026, en concordancia con la intensificación de vientos alisios en la región, tras esto se espera desde febrero de 2026 comience un aumento de las anomalías pasando a ser positivas.

Respecto al Pacífico oriental (región Niño 1+2), el ICEN centrado en septiembre 2025 alcanzó el valor de -0.19 °C en la condición neutral. En agosto de 2025 se reportó una anomalía de TSM de -0.42°C (según el ERSSTv5¹) con una disminución de anomalías de TSM en la región Niño 1+2 persistiendo en la condición neutra; Además, desde mediados de septiembre hasta inicios de octubre se tuvo una normalización en las anomalías de TSM región Niño 1+2, tras esto se retomaron las anomalías negativas de TSM durante octubre, lo cual está asociado al arribo de ondas Kelvin frías, que ha propiciado disminuciones de temperaturas del aire en la costa peruana. Según el pronóstico del C3S, en la primavera, se espera que las anomalías oscilen dentro de un rango neutral, con una mayor tendencia hacia valores negativos. Posteriormente en el verano 2026 se espera que persista la condición neutra con una ligera tendencia hacia anomalías positivas de TSM en la región Niño 1+2.

Durante septiembre de 2025, la circulación de Walker presentó, en promedio, convección en la región norte del Perú, lo que sumado al breve arribo de la fase divergente en altura favoreció superávits de precipitación en la región nororiental del país (en el contexto del período de estiaje, donde se puede superar los valores climáticos con lluvias localizadas). Este patrón convectivo tuvo una fase mixta en octubre, en la primera década se presentaron superávits de precipitación en la costa norte y central y déficit en la sierra sur oriental, esto siendo invertido en la segunda década en donde se presentó déficit en la costa norte y superávit en la sierra sur oriental.

El Anticición del Pacífico Sur (APS) en septiembre 2025 presentó un núcleo y una posición cercana a sus valores climáticos, en donde se dieron tanto episodios de incremento como de

<sup>&</sup>lt;sup>1</sup> ERSSTv5 data TSM Mensual: <a href="https://www.cpc.ncep.noaa.gov/data/indices/ersst5.nino.mth.91-20.ascii">https://www.cpc.ncep.noaa.gov/data/indices/ersst5.nino.mth.91-20.ascii</a>



disminución de vientos alisios asociados al gradiente de presión APS-Costa. En lo que va de octubre, se viene presentando una tendencia al incremento de vientos alisios, debido a la posición e intensidad del APS lo que podría propiciar ligeras disminuciones de TSM en la región Niño 1+2.

#### 1. TEMPERATURA SUPERFICIAL DEL MAR EN EL PACÍFICO ECUATORIAL Y PERSPECTIVAS

Entre la segunda y tercera década de septiembre de 2025 se mantuvieron condiciones neutras en la región Niño 1+2, con predominio de anomalías negativas principalmente frente a Ecuador y al departamento de Tumbes (ver Figuras 1a, 1b y 2). Durante los primeros días de octubre se registró un ligero calentamiento, con anomalías cercanas a 0 °C; sin embargo, posteriormente se observó un nuevo enfriamiento asociado al arribo de ondas Kelvin frías al Pacífico oriental, el cual persistió —con mayor intensidad— hasta la segunda década de octubre de 2025, manteniéndose aún dentro del rango de condiciones neutras (ver Figuras 1c, 1d y 2).

A escala semanal, los datos del producto OISSTv2.1 $^2$  también evidenciaron este enfriamiento: la anomalía pasó de 0 °C (17–23 de septiembre) a –0.1 °C (24–30 de septiembre), manteniéndose en –0.1 °C (1–14 de octubre), y posteriormente alcanzando su mínimo de –0.4 °C (15–22 de octubre), en donde se evidencia la disminución de temperatura tras el ingreso de la onda Kelvin fría.

En la actualidad, se observa un calentamiento ligero de las anomalías de TSM, con valores de +0.19 °C en OSTIA y +0.34 °C en OISST (ver **Figura 2**). Desde la perspectiva del pronóstico subestacional, el modelo MERCATOR indica que hacia fines de octubre podría presentarse una nueva tendencia al enfriamiento, con predominio de anomalías negativas en la región Niño 1+2, aunque aún dentro de la categoría neutral (ver **Figura 2**).

Respecto al Pacífico Central (región Niño 3.4), en octubre continuó la tendencia al descenso de anomalías de TSM, el cual el modelo OSTIA no alcanzó el umbral de -0.5°C, mientras que el OISST presenta superó dicho umbral, sin embargo, el modelo MERCATOR mostró condiciones de enfriamiento débil, manteniendo valores más negativos que -0.5°C pero sin superar el umbral -1°C. Desde la línea de pronóstico, hasta inicios de noviembre, el modelo MERCATOR está mostrando un enfriamiento que inclusive puede superar el umbral de -1°C (ver **Figura 3**).

Finalmente, en cuanto a las perspectivas de TSM para el período noviembre 2025 – marzo 2026, el pronóstico C3S multi-sistema indica una mayor predominancia de anomalías negativas en el Pacífico central hasta enero de 2026, con valores espaciales que oscilan entre –0.2 °C y –1.0 °C. En el Pacífico oriental, por su parte, podrían desarrollarse anomalías negativas de menor magnitud, principalmente entre –0.2 °C y –0.5 °C, dentro de la categoría neutral, hasta enero del 2025 (ver **Figura 4**).

<sup>&</sup>lt;sup>2</sup> OISSTv2.1 data TSM Semanal: <a href="https://www.cpc.ncep.noaa.gov/data/indices/wksst9120.for">https://www.cpc.ncep.noaa.gov/data/indices/wksst9120.for</a>





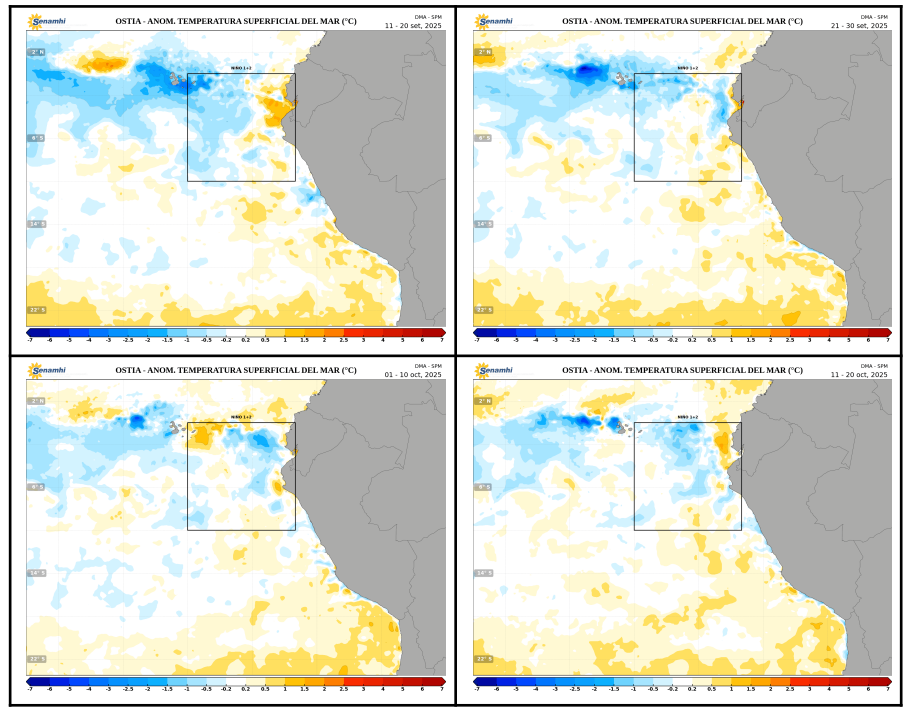


Figura 1. Promedios decadales de la anomalía de la temperatura superficial del mar (TSM) en el Pacífico Oriental del 11 de septiembre al 20 de octubre de 2025 (1a, 1b, 1c y 1d). Climatología 1981-2011. Fuente satelital: OSTIA. Procesamiento: SPM-SENAMHI.

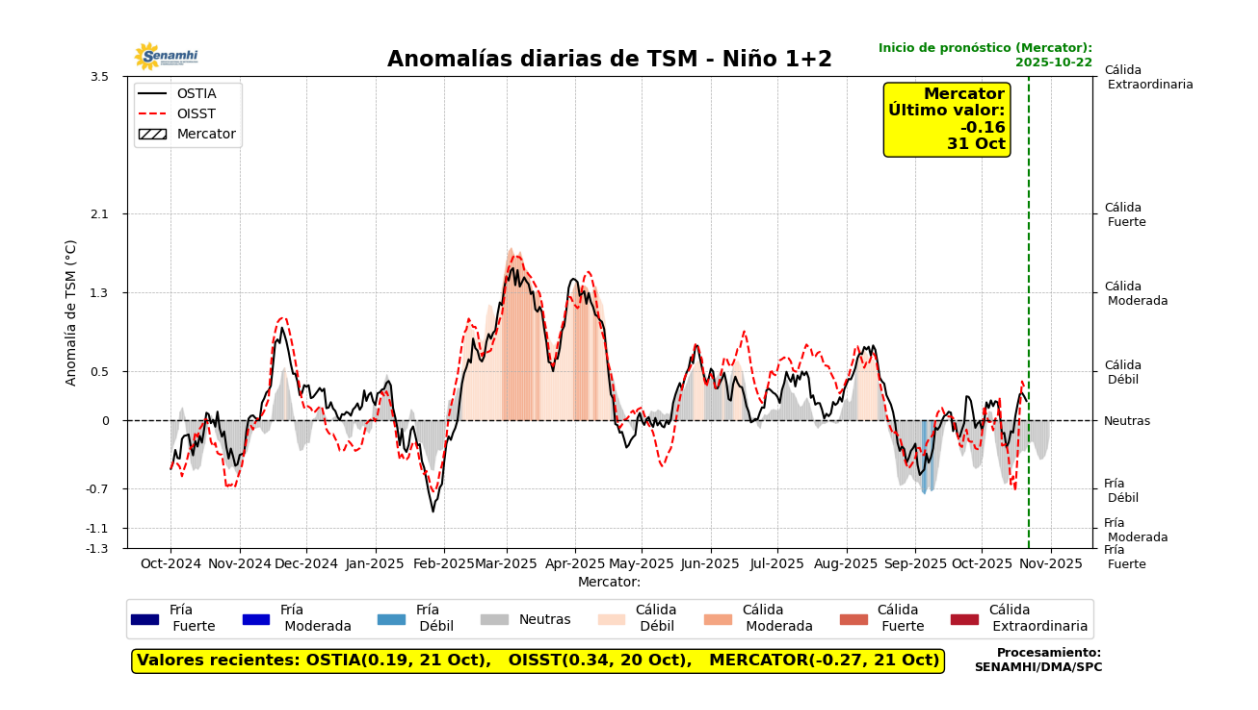
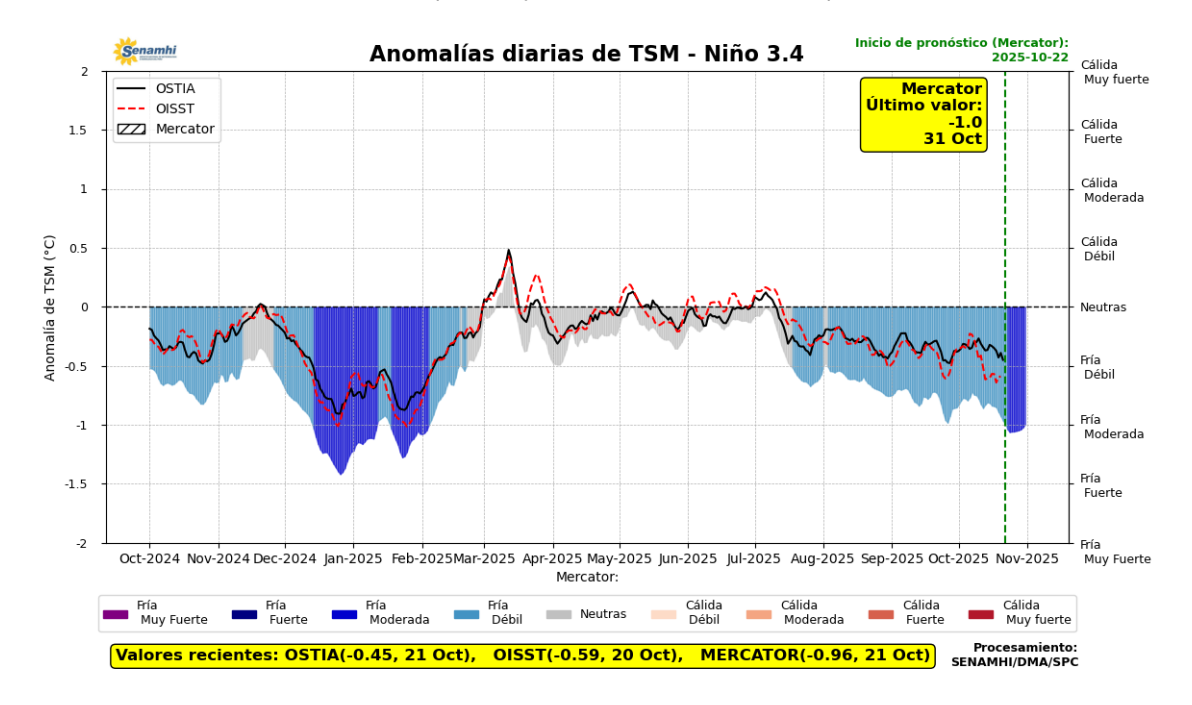
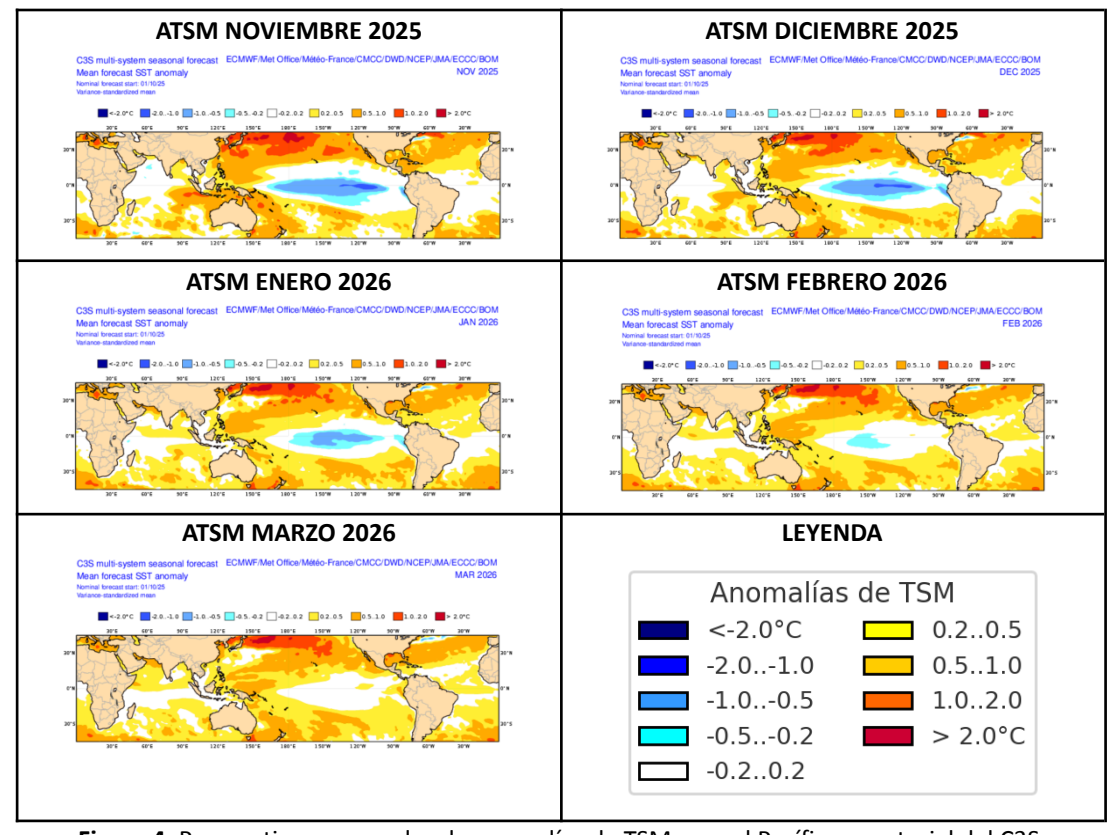


Figura 2. Anomalías diarias de la temperatura superficial del mar (TSM) en la región Niño 1+2 del 01 de octubre 2024 al 21 de octubre de 2025. Pronóstico del 22 de octubre al 31 de octubre de 2025. Fuente: OSTIA, OISST, MERCATOR. Procesamiento: SPC-SENAMHI.





**Figura 3.** Anomalías diarias de la temperatura superficial del mar (TSM) en la región Niño 3.4 del 01 de octubre de 2024 al 21 de octubre de 2025. Pronóstico del 22 de octubre al 31 de octubre de 2025. Fuente: OSTIA, OISST, MERCATOR. Procesamiento: SPC-SENAMHI.



**Figura 4.** Perspectivas mensuales de anomalías de TSM para el Pacífico ecuatorial del C3S multi-system seasonal forecast. Período: noviembre 2025 – marzo 2026. Modelos: ECMWF/Met Office/Meteo-France/CMCC/DWD/NCEP/JMA/ECCC/BOM. Fuente: Copernicus.



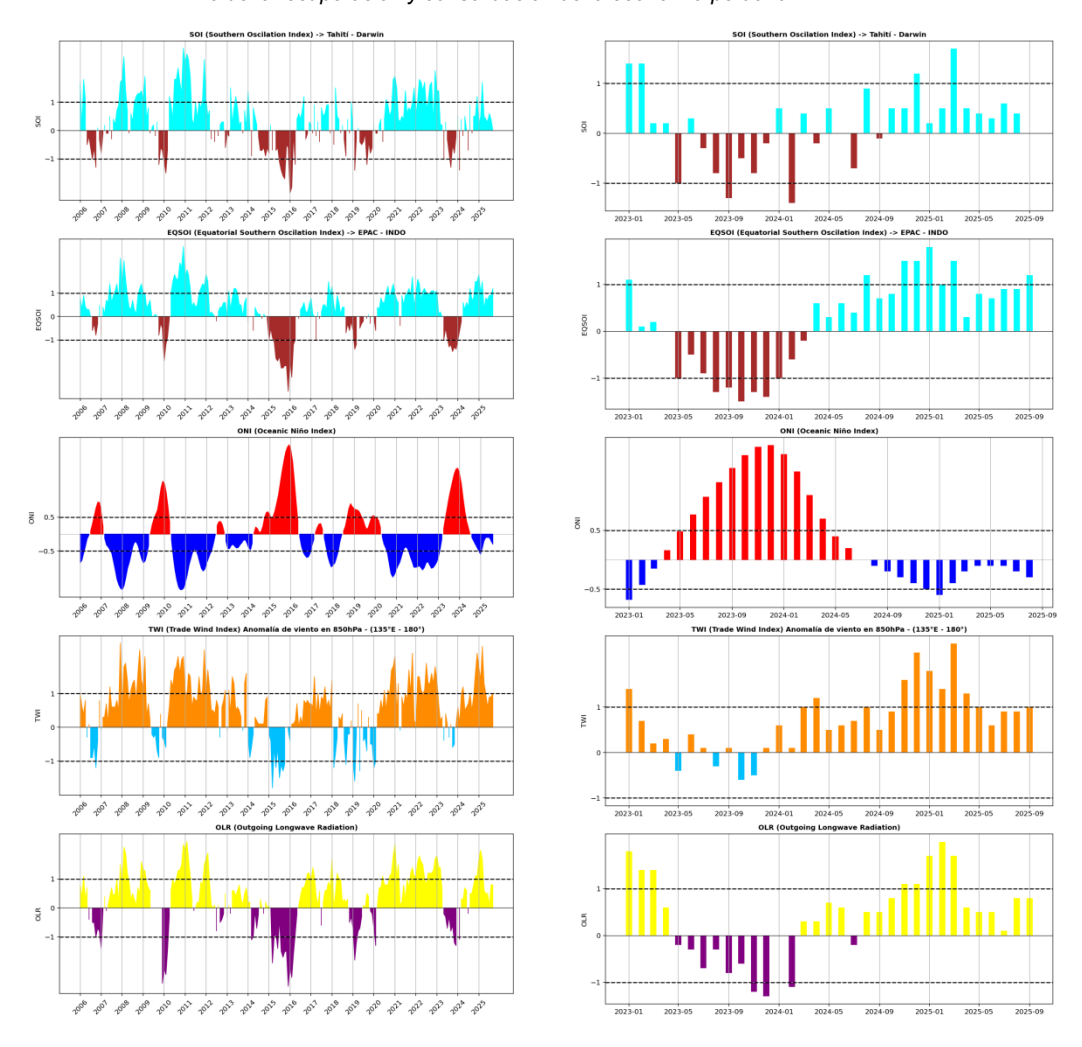
#### 2. ÍNDICES ENSO

Los índices de monitoreo del Pacífico ecuatorial como el SOI y EQSOI, en setiembre 2025, registraron valores de 0 y +1.2 respectivamente; El EQSOI persistió en la tendencia hacia valores positivos por dieciocho meses consecutivos, después de haber registrado condiciones negativas por decimotercer mes consecutivo (en el evento El Niño), mientras que el SOI muestra ya once meses consecutivos con valores positivos (ver Figura 5). Tanto la persistencia de valores positivos como el incremento en magnitud del EQSOI y SOI han favorecido una tendencia hacia la mayor disminución de anomalías de TSM negativas en el Pacífico central (ver Figura 3). Además, se registró por veintidos meses consecutivos valores positivos del índice TWI, con un valor de +1.0 en este último mes, evidenciando la persistencia de alisios intensificados. Por otro lado, el OLR mantuvo valores positivos reportando +0.8 en septiembre (sin incremento respecto al mes pasado), reflejando la persistencia de las condiciones subsidentes que se han estado presentando en el Pacífico Central favorecidos por las condiciones frías del mar (ver Figura 3 y 5).

Respecto a las anomalías de TSM en el Pacífico central, el último valor del ONI centrado en agosto alcanzó el valor de -0.32°C³ (valor temporal), registrando por decimotercera vez condiciones negativas en el período 2024-2025. Además, la anomalía mensual de setiembre 2025 según el ERSSTv5² reportó un valor de -0.46°C y, a nivel semanal, del 3 al 9 y del 10 al 16 de setiembre el producto OISSTv2.1 indicó anomalías de -0.3°C y -0.5°C respectivamente, con una disminución hacia mediados de octubre, en el límite de la categoría neutra. Sin embargo Mercator ya indica valores por debajo del umbral de -0.5°C (ver **Figura 3**).

<sup>&</sup>lt;sup>3</sup> ONI: <a href="https://origin.cpc.ncep.noaa.gov/products/analysis\_monitoring/ensostuff/ONI\_v5.php">https://origin.cpc.ncep.noaa.gov/products/analysis\_monitoring/ensostuff/ONI\_v5.php</a>



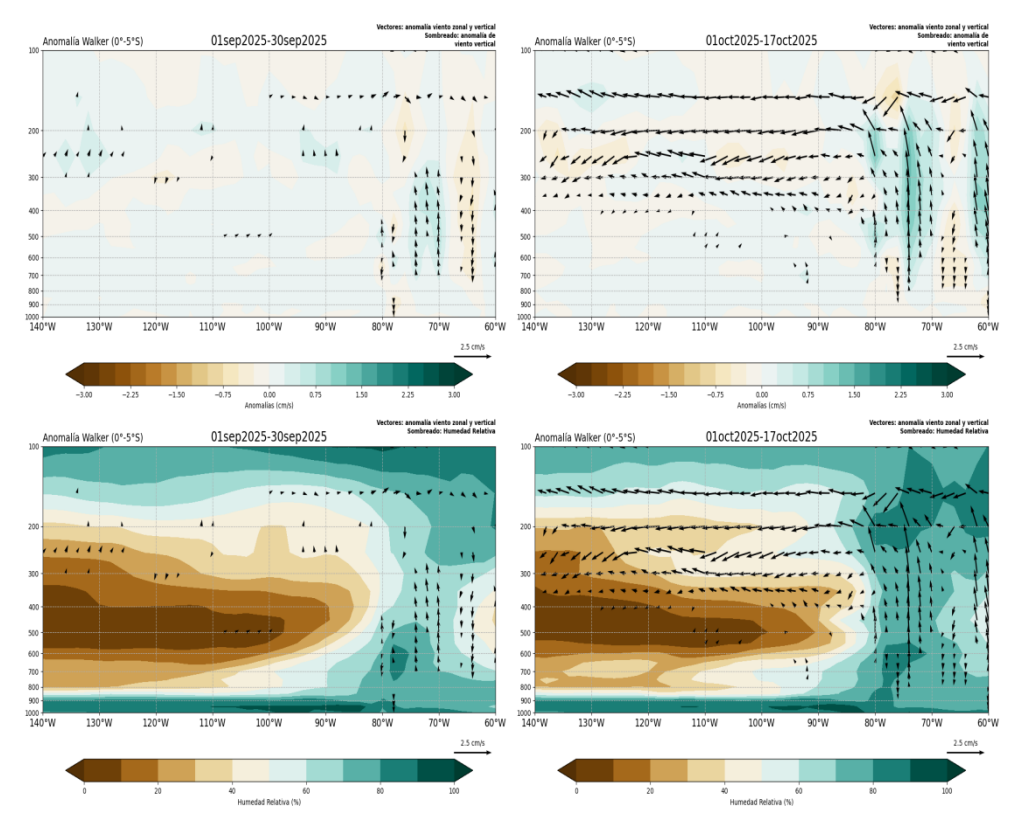


**Figura 5.** Índices mensuales asociados al ENSO (El Niño Southern Oscillation) desde enero de 2006 hasta septiembre de 2025 (izq.) y enero del 2023 a septiembre del 2025 (der.) con media móvil de 3 meses. Procesamiento: SPC/SENAMHI.

# 3. CIRCULACIÓN ECUATORIAL

En promedio para septiembre 2025, se observaron patrones convectivos entre los 80°W-70°W y 0°-5°S asociados a la región norte del Perú. Además se tuvieron valores de humedad relativa de entre 60% a 80% desde la superficie hasta los 500 hPa y en el nivel de 250 hPa y condiciones secas entre 450 y 300 hPa. La convección y el contenido de humedad favorecieron los superávits de lluvias que se dieron en el mes de septiembre para la región norte (ver **Figuras 6a y 16a**). Cabe destacar que estas condiciones de superávits se dieron en un contexto de transición hacia el fin del período de estiaje, en donde las lluvias ya suelen aparecer. Posteriormente, en lo que va de octubre, mes en donde ya acabó dicho período, se presentaron patrones convectivos, principalmente hacia la vertiente oriental (70°W a 75°W y 0° a 5°S) lo que propició superávits de lluvias y condiciones cálidas de temperatura mínima en la región suroriental del Perú (ver **Figuras 6b, 16b, 16c, 17b y 17c**).





**Figura 6.** Análisis de la circulación atmosférica (Walker) en el HS (0° - 5°S) para septiembre de 2025 (izquierda) y lo que va de octubre del 2025 (derecha) con vientos (vectores), anomalías de velocidad vertical (sombreado imágenes superiores) y humedad relativa (sombreado imágenes inferiores). Fuente: ECMWF. Procesamiento: SPC/SENAMHI.

#### 4. CIRCULACIÓN EN SUPERFICIE

En el mes de septiembre de 2025, el Anticiclón del Pacífico Sur (APS) presentó en promedio una configuración zonal, con un núcleo y una ubicación cercanos a sus valores climatológicos (ver **Figura 7 izq.**). Esta disposición favoreció que los vientos alisios, en promedio, se mantuvieran próximos a su comportamiento habitual, registrándose breves episodios de intensificación y debilitamiento en su magnitud. Además, el arribo de ondas Kelvin frías favoreció la disminución de anomalías de TSM en la región Niño 1+2 (ver **Figura 1 y 2**). En lo que va de octubre, el APS presentó una configuración ligeramente al noreste de su posición climática y una intensificación en su núcleo, llegando a valores de hasta 1024 hPa, lo que podría haber favorecido ciertos episodios de intensificación de vientos alisios, además, se presenta una extensión zonal con otro núcleo en alrededor de 40°S - 130°W, reflejando la reorganización del patrón subtropical (ver **Figura 7 der.**).

De acuerdo con el pronóstico, entre el 23 y el 27 de octubre el APS se acercará al continente, con el núcleo centrado en 90°W – 30°S aproximadamente, al noreste de su posición climática. Esto favorecerá un aumento notable en el gradiente de presión y la componente meridional del viento en la costa norte, sin embargo, según MERCATOR la tendencia de las anomalías de TSM en la región Niño 1+2 persistirá hacia valores



negativos, probablemente por el efecto de las ondas Kelvin frías (ver Figuras 2, 8, 9 y 10). Posteriormente entre el 28 de octubre al 1 de noviembre, el APS presentará un núcleo al oeste de su posición climática con valores de presión en el núcleo mayor a su climatología, lo que se evidencia en el índice de presión y en los vientos tanto zonales como meridionales cercanos a sus valores climáticos (ver Figuras 8, 9 y 10). Finalmente del 2 al 6 de noviembre, se tendrá en promedio, un APS con un núcleo intenso de hasta 1040 hPa ubicado al sur de su climatología, lo que favorecerá incrementos del gradiente de presión y aumento del viento meridional para los primeros días de noviembre (ver Figuras 8, 9 y 10).

Respecto a las perspectivas mensuales, de noviembre a diciembre 2025, en la ubicación climática del APS se tendrán anomalías positivas de presión lo que podría evidenciar un APS intensificado. Posteriormente, entre enero 2026 a marzo 2026, en la posición climática del APS se tendrán anomalías cercanas a sus valores normales, sin embargo, hacia el oeste de la posición climática se evidencian anomalías de presión positivas de mayor magnitud para enero, mientras que en marzo estas se presentarían hacia el sur, lo que podría evidenciar una migración del APS, favoreciendo algunos episodios de debilitamiento de vientos e incrementos de anomalías de TSM, como se observa en los escenarios de anomalías del C3S para marzo del 2026 (ver Figuras 4 y 11).

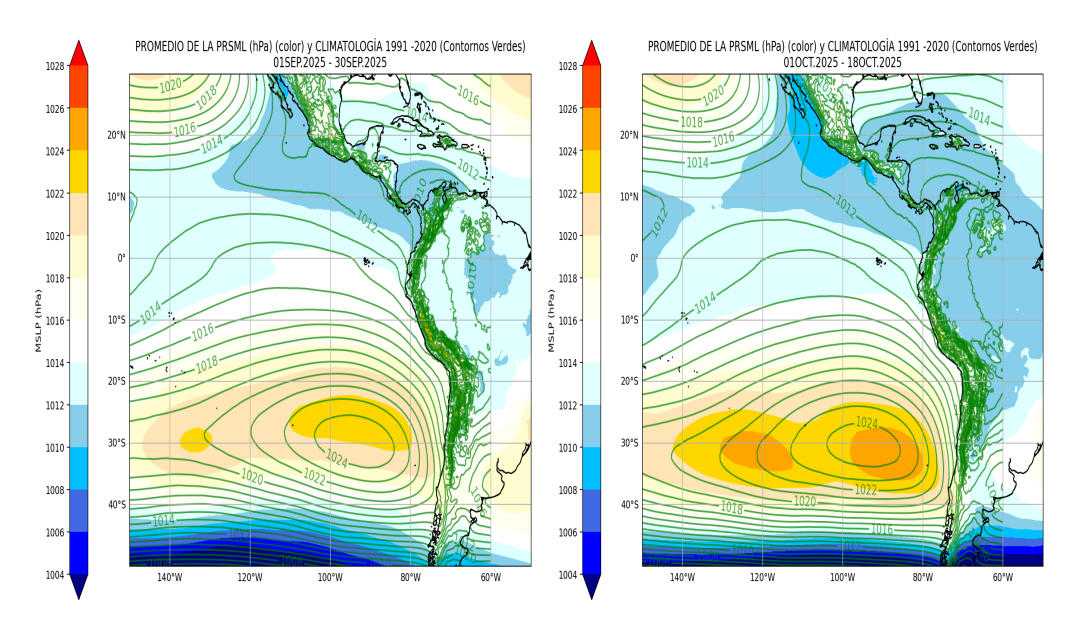
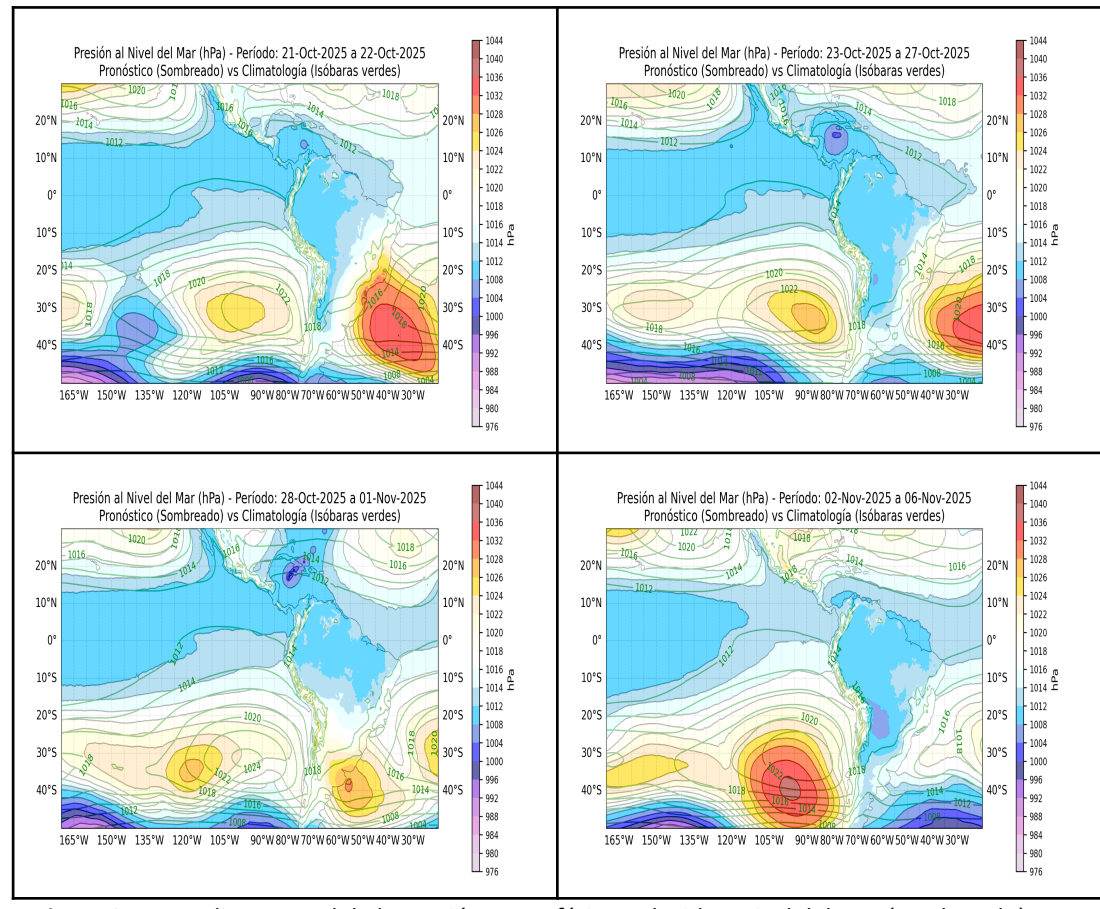
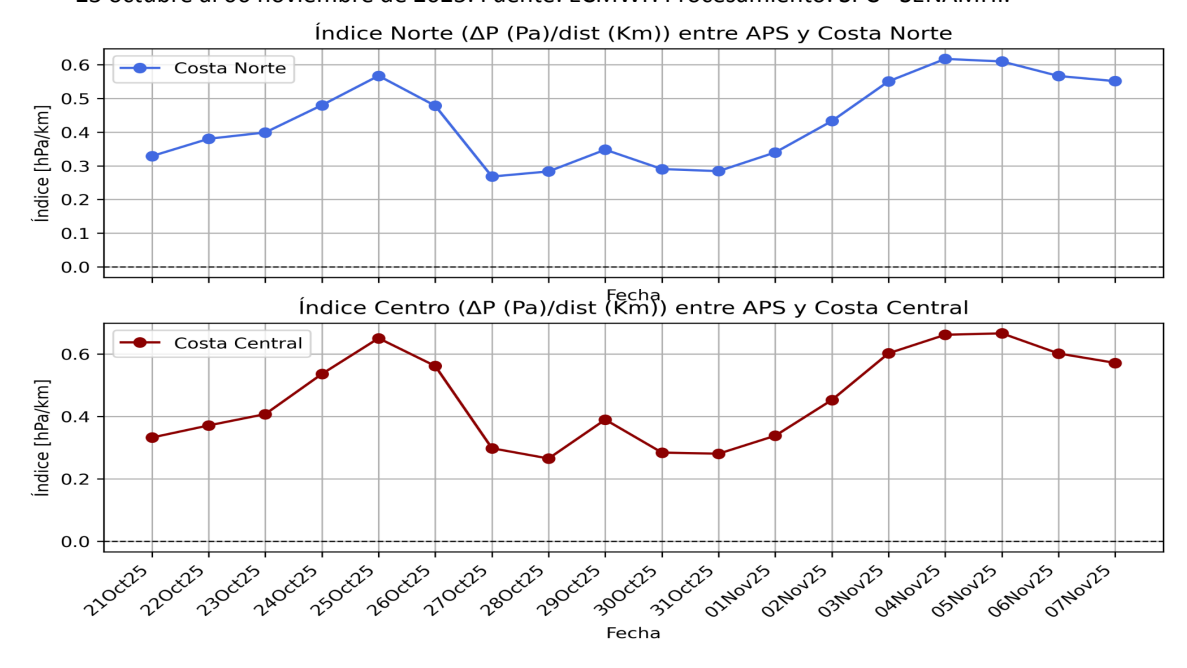


Figura 7. Promedio de la presión atmosférica a nivel del mar (sombreado) y climatología (contornos) durante septiembre (izq) y lo que va de octubre (der.) del 2025. Fuente: ECMWF. Procesamiento: SPC-SENAMHI.



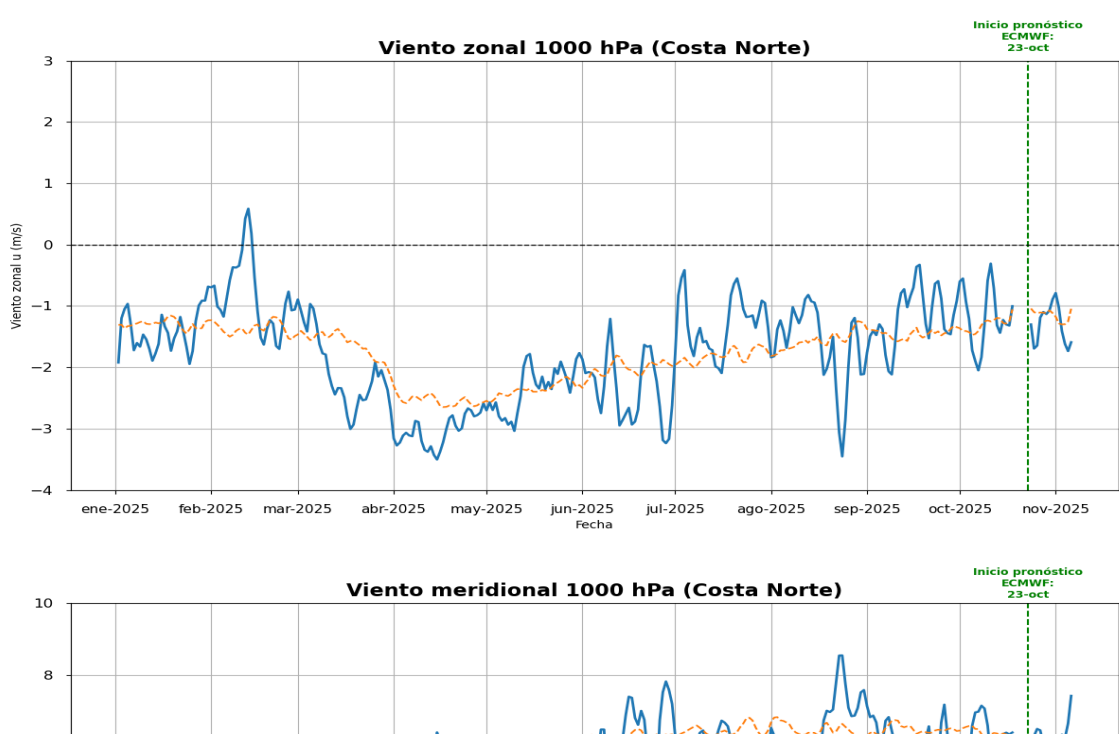


**Figura 8**. Promedio semanal de la presión atmosférica reducida a nivel del mar (sombreado) y su climatología (contornos verdes). Condiciones actuales: 21 al 22 de octubre de 2025. Pronóstico: 23 octubre al 06 noviembre de 2025. Fuente: ECMWF. Procesamiento: SPC - SENAMHI.

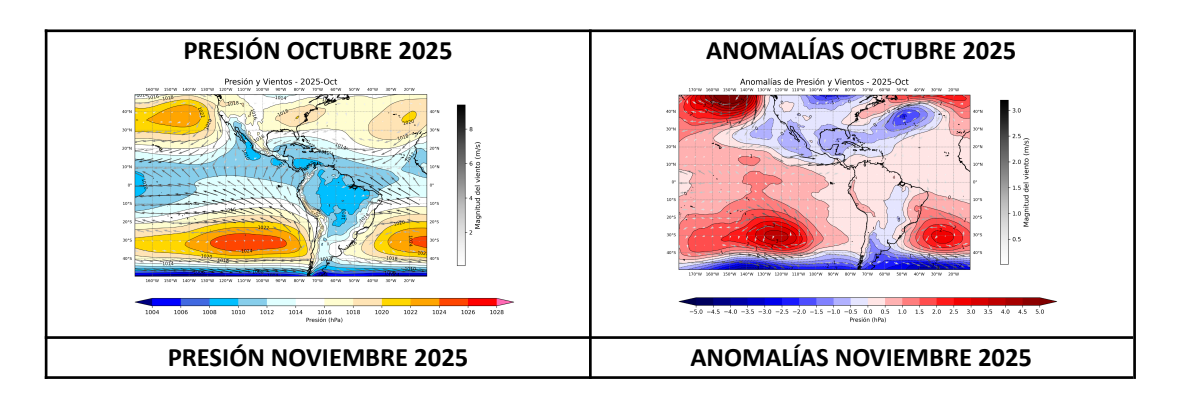


**Figura 9.** Relación entre el gradiente del núcleo del APS (Pa) y la distancia (km) del APS a la (a) costa norte y (b) costa central. Fuente: ECMWF. Procesamiento: SPC-SENAMHI.

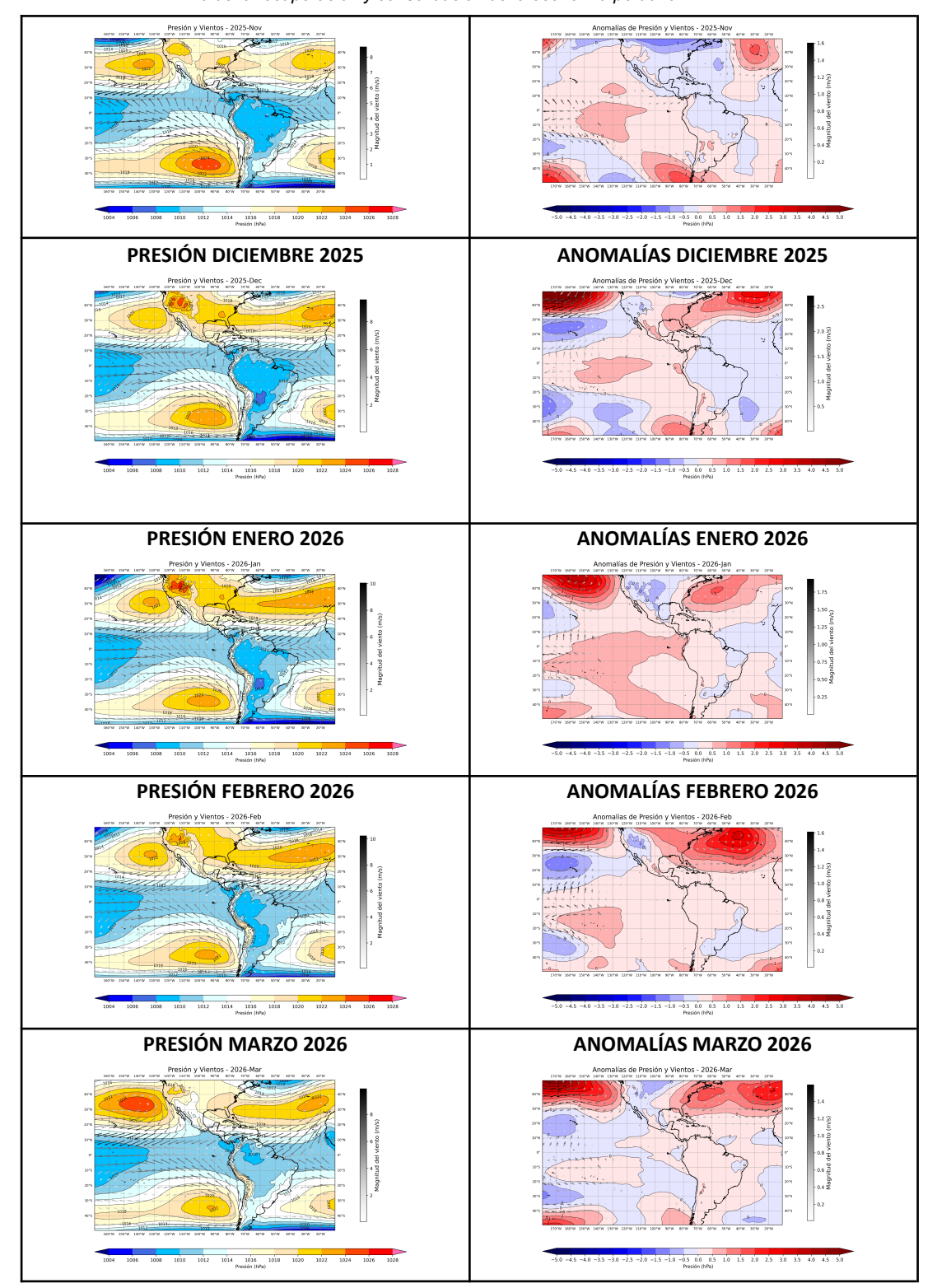




**Figura 10.** Magnitud de viento zonal y meridional a 1000 hPa (línea azul) y climatología (línea naranja). Análisis: 20 al 22 de setiembre del 2025. Pronóstico: 23 de setiembre del 2025 al 08 de octubre de 2025. Fuente ECMWF: Procesamiento: SPC-SENAMHI.







**Figura 11.** Perspectivas mensuales de la presión a nivel del mar y sus anomalías correspondientes en el Pacífico Oriental. Período: octubre 2025 – marzo 2026. Fuente GFS: Procesamiento: SPC-SENAMHI.

#### 5. VARIABILIDAD INTRAESTACIONAL Y PERSPECTIVAS SUBESTACIONALES

A inicios de septiembre de 2025, en la alta tropósfera (200 hPa) sobre la región



ecuatorial (5°N–5°S, 90°W–60°W) y la franja tropical (5°S–15°S, 90°W–60°W), que abarca gran parte del territorio peruano, se desarrolló la fase divergente. Esta condición favoreció la convección, lo que aumentó las lluvias localizadas en la región norte del país, con acumulados superiores a los valores climatológicos. Sin embargo, estas precipitaciones no fueron abundantes, ya que septiembre corresponde a una estación de transición seca (ver Figura **12a, 12b y 16a**).

Posteriormente, en lo que va de octubre se tuvo 1 episodio de fase divergente sobre la región ecuatorial (5°N–5°S, 90°W–60°W) y 1 episodio sobre la franja tropical (5°S–15°S, 90°W–60°W), lo que podría haber favorecido una mayor convección y condiciones favorables para lluvias principalmente hacia la vertiente suroriental del Perú, (ver Figuras 12a, 12b, 16b y 16c), lo que se evidencia en las anomalías de lluvias de hasta +400% a +800% en el sur de Puno. Además, estos superávits de lluvias condicionaron una mayor nubosidad e incrementos de la temperatura mínima (anomalías cálidas) principalmente en la sierra suroriental (ver Figuras 16b, 16c, 17b y 17c).

Desde la línea de pronóstico (23 de octubre 2025), se prevé que persistan valores de velocidad potencial convergentes, lo que podría propiciar subsidencia y limitar los acumulados de lluvias hasta finales de octubre, para posteriormente configurarse una fase neutra, sin embargo, el comportamiento de estas variables también va a depender de cómo evolucione tanto la dinámica atmosférica como las condiciones oceánicas (ver **Figura 12a y 12b**).

En niveles bajos (850hPa) y dentro de la franja ecuatorial (5°S-5°N), en el mes de septiembre se observó una predominancia de anomalías de vientos del este, principalmente en el Pacífico Central y parte del Occidental (150°E - 120°W), lo que favoreció un descenso de anomalías de TSM en la región Niño 3.4 (ver **Figuras 3 y 13**). Posteriormente, en lo que va de octubre, estas condiciones persistieron, pero con una mayor magnitud, por lo que la tasa de disminución de anomalías de TSM en la región Niño 3.4 fue mayor(ver **Figuras 3 y 13**). Desde la línea de pronóstico, se prevé una persistencia de anomalías de vientos del este, con una mayor magnitud en el Pacífico central (120°E – 120°W), por lo que se esperaría un incremento en la tasa de disminución de anomalías de TSM en la región Niño 3.4, tal como lo pronostica Mercator (ver **Figuras 3 y 13**).

En niveles altos de la tropósfera (200 hPa), durante septiembre, en los  $5^{\circ}N - 5^{\circ}S - 90^{\circ}W - 60^{\circ}W$ , asociado a la región norte del Perú predominaron las anomalías de vientos del este que podrían haber propiciado un debilitamiento en los flujos del oeste (o episodios de vientos del este) y una mayor cantidad de humedad, lo que favoreció superávits de lluvias en la región norte del Perú, reflejados en los valores de anomalías (en el contexto del período de estiaje, ver **Figuras 14 y 16a**). Posteriormente, en los que va de octubre se obtuvo un episodio ligero de vientos del oeste pero con una predominancia de episodios de vientos del este, sin embargo, los vientos ascendentes y el episodio de fase divergente propiciaron superávits de lluvias, principalmente en la vertiente nororiental y suroriental del Perú (**Figuras 6, 12, 14, 16b y 16c**).



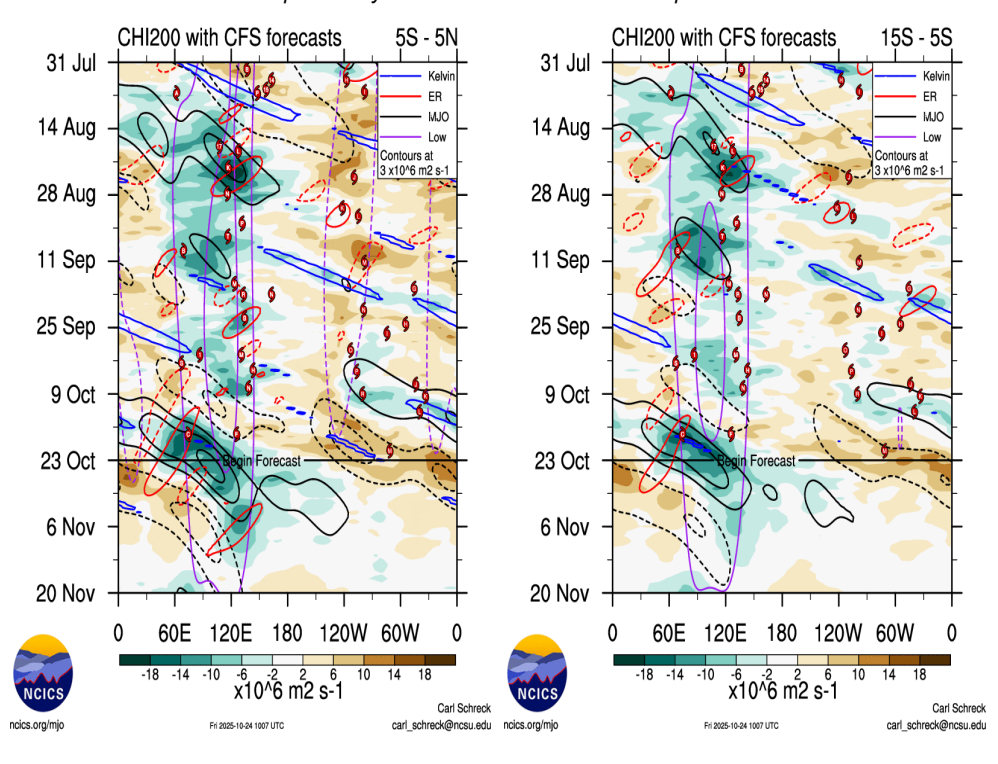
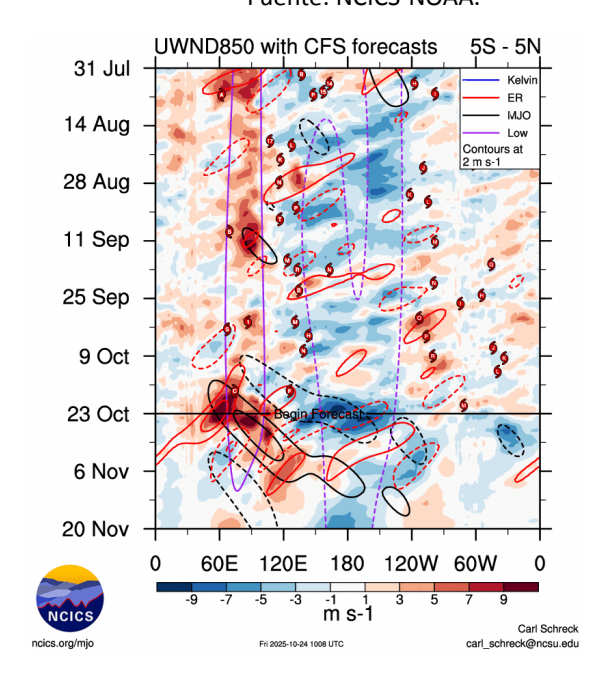


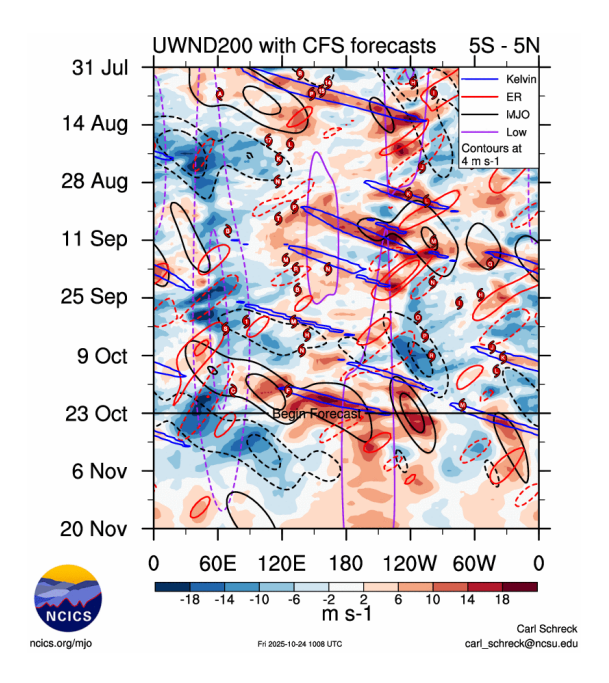
Figura 12. Anomalía de la velocidad potencial en 200 hPa entre los 5°N - 5°S (a) y los 5°S – 15°S (b) a lo largo de la línea ecuatorial. Análisis: 31 julio del 2024 al 22 octubre del 2025. Pronóstico: 23 de octubre 2025 al 20 de noviembre 2025. Anomalías positivas (marrón), anomalías negativas (verdes). La línea negra indica la fecha en que inicia el pronóstico de acuerdo al modelo CFS.

Fuente: NCICS-NOAA.



**Figura 13.** Anomalía del viento zonal en 850 hPa entre los 5°N y 5°S a lo largo de la línea ecuatorial. Análisis: 31 julio al 20 de noviembre del 2025. Pronóstico: 23 de octubre al 20 de noviembre 2025. Anomalías positivas (rojo), anomalías negativas (azul). La línea negra indica la fecha en que inicia el pronóstico de acuerdo al modelo CFS. Fuente: NCICS-NOAA.





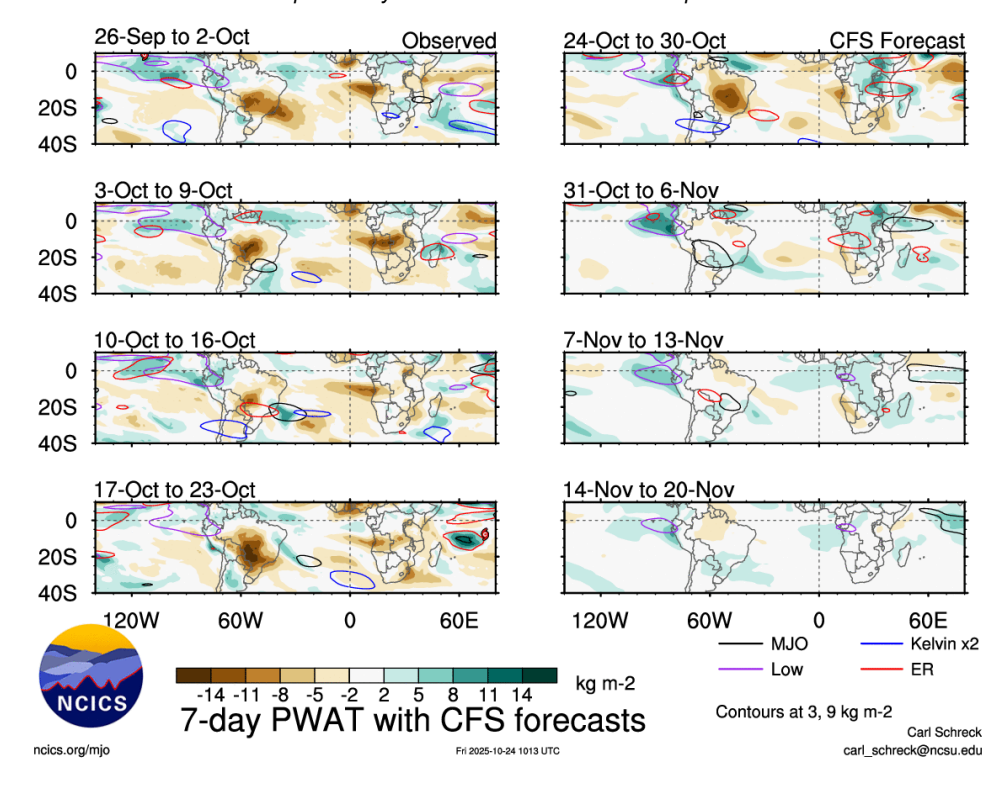
**Figura 14.** Anomalía del viento zonal en 200 hPa entre los 5°N y 5°S a lo largo de la línea ecuatorial. Análisis: 31 julio al 22 octubre del 2025. Pronóstico: 23 de octubre al 20 de noviembre 2025. Anomalías positivas (rojo), anomalías negativas (azul). La línea negra indica la fecha en que inicia el pronóstico de acuerdo al modelo CFS. Fuente: NCICS-NOAA.

#### 6. CONDICIONES ATMOSFÉRICAS REGIONALES

En lo que va de octubre se registraron anomalías de agua precipitable positivas, en el rango de +5 a +11 mm, principalmente hacia la región norte y sur del Perú, indicando mayor disponibilidad de humedad, lo que en parte ha favorecido los superávits de lluvias que se han tenido hacia la vertiente nororiental del Perú (ver **Figuras 15, 16b y 16c**).

En cuanto al pronóstico para el periodo del 24 de octubre al 30 de octubre, se prevén valores de agua precipitable cercanos a la climatología en la vertiente oriental; mientras que hacia la vertiente occidental van a predominar anomalías de agua precipitable mayores a lo normal, lo cual, si la dinámica atmosférica resulta favorable para la convección, podrían presentarse superávits de precipitación (ver **Figura 15**).





**Figura 15.** Anomalía del agua precipitable (Kg\*m2) (sombreado) para Perú. Análisis del 26 de septiembre al 23 de octubre de 2025. Pronóstico del 24 de octubre de 2025 al 20 de noviembre de 2025. El panel derecho indica el pronóstico del CFS. Fuente: NCICS - NOAA.

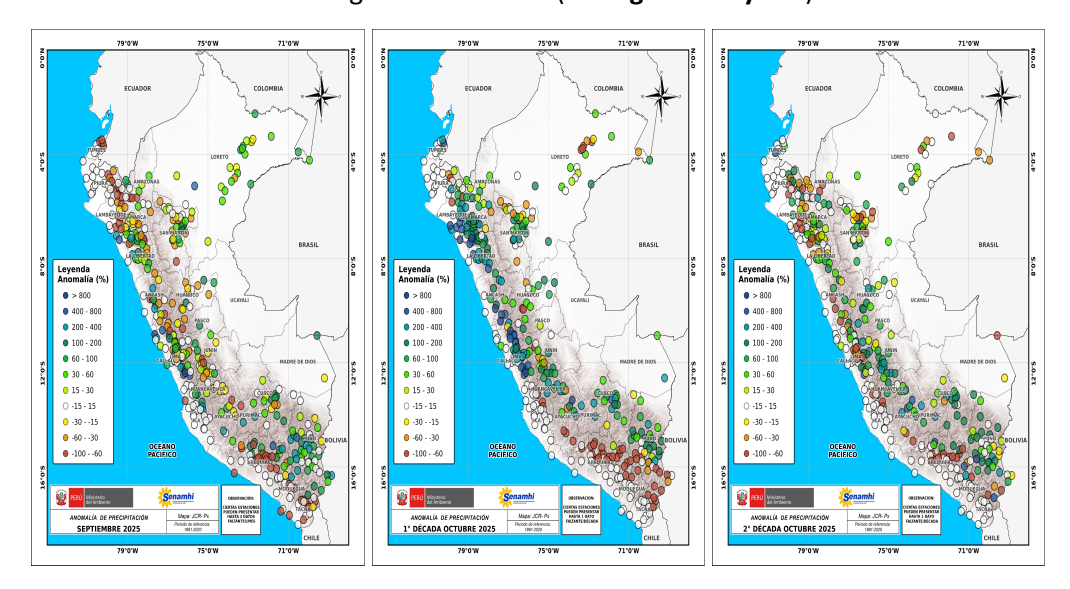
### 7. MONITOREO TERMOPLUVIOMÉTRICO

Durante inicios y mediados de octubre de 2025, se normalizaron las anomalías de temperaturas del aire, principalmente las mínimas, debido a que de igual forma hubo una normalización en las TSM costeras, sin embargo en la región de la sierra oriental sur se observaron anomalías positivas de temperaturas mínimas (ver **Figuras 2 y 16c**).

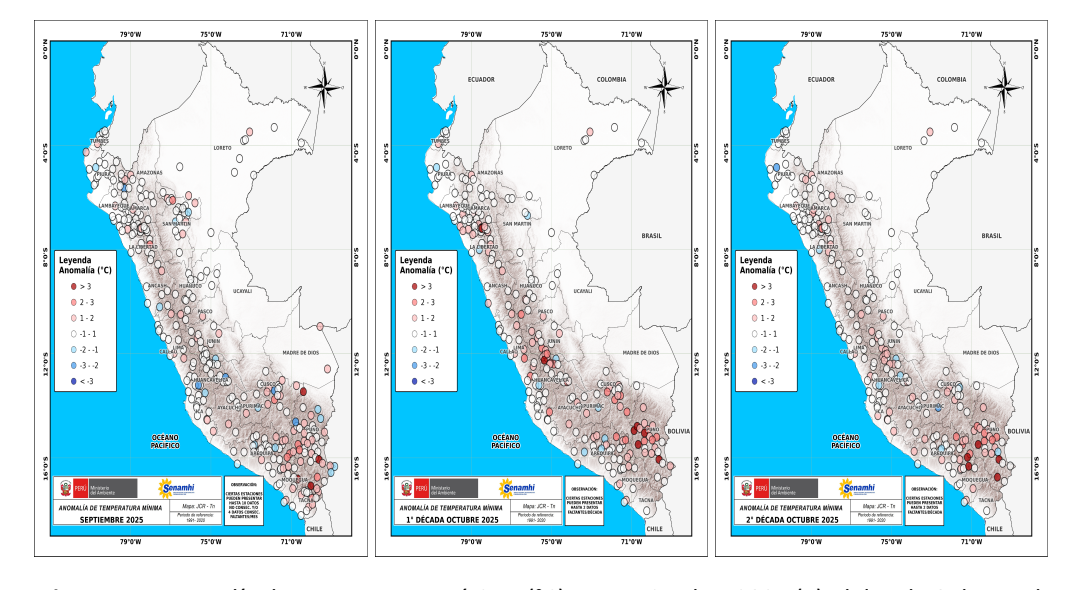
En septiembre de 2025, se registraron superávits de lluvias principalmente en la región nororiente del Perú (en el contexto de la temporada seca), mientras que, en la sierra centroccidental y sierra suroriental del Perú predominaron condiciones normales a superávit de precipitación con anomalías de hasta +30% a -800% (ver Figura 16a). Posteriormente, en la 1ra década de octubre se presentaron los mayores superávits de lluvias hacia la vertiente occidental del Perú alcanzando máximos valores en el norte y centro occidental (+100 % a +400% de anomalías de lluvias), también se alcanzaron máximos valores al centro y norte de Puno (+30% a +100% de anomalías de lluvias), asociados a la fase divergente en altura y, en general, condiciones dinámicas más favorables a lluvias (ver Figuras 12 y 16b). Finalmente, en la 2da década de octubre, nuevamente se presentó una predominancia de condiciones deficitarias hacia la región central y sur del Perú principalmente en la vertiente occidental (a excepción de algunas lluvias localizadas en la sierra sur), mientras que, en la vertiente oriental predominaron los superávits de lluvias principalmente hacia la sierra centro y sur (ver Figura 16c). En



cuanto a las temperaturas, en el mes de septiembre se tuvieron condiciones variadas de temperaturas mínimas (ver **Figura 17a**), mientras que en octubre predominaron las condiciones cálidas en la región sur del Perú (ver **Figura 17b y 17c**).



**Figura 16.** Anomalía de precipitación (%) en septiembre 2025 (a), del 1 al 10 de octubre 2025 (b) y del 11 al 20 de octubre 2025 (c). Climatología 1991-2020. Fuente y Procesamiento: SENAMHI.



**Figura 17.** Anomalía de temperatura mínima (°C) en septiembre 2025 (a), del 1 al 10 de octubre 2025 (b) y del 11 al 20 de octubre 2025 (c). Climatología 1991-2020. Fuente y Procesamiento: SENAMHI.

#### Análisis y redacción:

Javier Chiong, Grinia Ávalos, Dora Marín, Félix Cubas, Nelson Quispe.

Próxima actualización: 21 de noviembre de 2025

Se invita a acceder a los siguientes sitios del portal institucional:



## **Avisos Meteorológicos**

https://www.senamhi.gob.pe/?p=aviso-meteorologico

Pronósticos climáticos de lluvias, temperaturas máximas y mínima del aire

https://www.senamhi.gob.pe/?p=pronostico-climatico

Comunicados ENFEN sobre las condiciones EL NIÑO/LA ÑIÑA

https://www.senamhi.gob.pe/?p=fenomeno%2Del%2Dnino

**Boletines informativos** 

https://www.senamhi.gob.pe/?&p=boletines

Boletines de sequías

https://www.senamhi.gob.pe/?&p=sequias

© 2024 SENAMHI-PERÚ Jr. Cahuide 758 Jesús María – Lima; Teléfono: 6-141414 <u>clima@senamhi.gob.pe.</u>

pronosticador@senamhi.gob.pe www.senamhi.gob.pe

Pronóstico del Tiempo: 51 1 - 6141407 anexo 447
Predicción Climática: 51 1 - 6141414 anexo 475
Lima – Perú